

文章编号: 1000-8152(2006)05-0783-04

“小车-单摆”系统镇定设计的一种改进

叶华文¹, 钟守铭², 凌玉华¹, 戴冠中³

(1. 中南大学 信息与工程学院, 湖南 长沙 410083; 2. 电子科技大学 应用数学学院, 四川 成都 610054;
3. 西北工业大学 自动化学院, 陕西 西安 710072)

摘要: 为“小车-单摆”系统设计了一个新的镇定控制。考察前人的前推迭代设计, 发现先期过程已经使部分子系统输入状态稳定, 特别是, 该子系统在有关反馈设计后仍然输入状态稳定。因此, 在最后迭代时不必构造李雅普诺夫函数, 并设计出简单于前人的镇定控制, 给出了满意的仿真结果。

关键词: 镇定; 输入状态稳定; 倒立摆

中图分类号: TP202 文献标识码: A

Stabilization of the cart-pendulum system: an improved design

YE Hua-wen¹, ZHONG Shou-ming², DAI Yu-hua¹, DAI Guan-zhong³

(1. School of Information Science and Engineering, Central South University, Changsha Hunan 410083, China;
2. College of Applied Mathematics, University of Electronic Science and Technology of China, Chengdu Sichuan 610054, China;
3. College of Automation, Northwestern Polytechnical University, Xi'an Shaanxi 710072, China)

Abstract: In this note, a new stabilizing control is presented for the cart-pendulum system. A previous design via the forwarding technique is reviewed, and the first two steps are found to result in an input-to-state stable (ISS) subsystem already. Especially, the subsystem remains ISS subject to a certain feedback design. Thus, in the final step, there is no need to construct a Lyapunov function any longer, and a stabilizer can be suggested which is simpler than the existing one. Finally, desirable simulation results are provided.

Key words: stabilization; input-to-state stability; inverted pendulum

1 引言(Introduction)

前馈型系统是较难镇定的一类系统, 本文考察的“小车-单摆”系统是一个典型的前馈型系统, 描述为^[1]

$$\begin{cases} \dot{x}_0 = s_0, \dot{s}_0 = u_0, \dot{t}_0 = r_0, \\ \dot{r}_0 = \frac{2t_0r_0^2}{1+t_0^2} + t_0\sqrt{1+t_0^2} - u_0\sqrt{1+t_0^2}. \end{cases} \quad (1)$$

其中 u_0 为控制输入。

关于系统 (1) 的镇定, 文献 [1] 运用李雅普诺夫前推方法给出过一种智巧的设计, 但由于在迭代设计的最后步骤中仍然依赖李雅普诺夫函数, 导致了较为复杂的镇定控制。不同于文献 [1], 由于推算出迭代过程中的部分子系统具有输入状态稳定性, 特别是, 该子系统在某一反馈设计后仍然为输入状态稳定, 因此, 本文在迭代的最后步骤中不必继续构造李雅普诺夫函数, 并设计出相对简单的控制律。

下面的结论将在稳定性分析中用到。

引理 1^[2] 考察非线性控制系统

$$\dot{x} = f(x, u), f(0, 0) = 0. \quad (2)$$

其中: $x \in \mathbb{R}^n$, $u \in \mathbb{R}^m$; f 关于 (x, u) 局部李普希茨。系统 (2) 为输入状态稳定 (ISS) 当且仅当存在连续可微的正定径向无界函数 V 和函数 $\alpha_i \in \kappa_\infty (i = 1, 2)$ 使得对任意 $x \in \mathbb{R}^n$, $u \in \mathbb{R}^m$,

$$\frac{\partial V}{\partial x} f(x, u) \leq -\alpha_1(|x|) + \alpha_2(|u|).$$

引理 2^[3] 考察三角结构系统

$$\Sigma : \dot{x}_1 = f_1(x_1, x_2), \dot{x}_2 = f_2(x_2).$$

其中: $x_1 \in \mathbb{R}^{n_1}$, $x_2 \in \mathbb{R}^{n_2}$; $f_1(0, 0) = 0$, $f_2(0) = 0$ 。如果 x_1 子系统关于 x_2 为输入状态稳定, x_2 子系统全局渐近稳定 (GAS), 那么系统 Σ 为 GAS。

下面两个不等式在后面会多次用到^[4]:

$$\mu^{N-1}v \leq \frac{N-1}{N}\alpha^{N/(N-1)}\mu^N + \frac{v^N}{N\alpha^N}, \\ \forall \mu, v, \alpha > 0, N > 1, \quad (3)$$

$$\mu v \leq 1/4L\mu^2 + Lv^2, \forall \mu, v, L > 0. \quad (4)$$

2 镇定新设计(New stabilization design)

现在给出镇定系统(1)的完整过程。分为3步，由下而上依次加进积分器。

Step 1 镇定(t_0, r_0)子系统。初步设计

$$u_0 = 2t_0(1 + \frac{r_0^2}{(1+t_0^2)^{3/2}}) + r_0.$$

于是(t_0, r_0)子系统重写为

$$\begin{cases} \dot{t}_0 = r_0, \\ \dot{r} = -(t_0 + r_0)\sqrt{1+t_0^2}. \end{cases} \quad (5)$$

设置李雅普诺夫函数

$$V_0 = \frac{1}{2}r_0^2 + \frac{1}{3}((1+t_0^2)^{3/2} - 1) + \frac{1}{2}r_0 t_0.$$

该函数正定径向无界，因为

$$V_0 \geq \frac{1}{2}(r_0 + \frac{1}{2}t_0)^2 + \frac{5}{24}t_0^2.$$

用 V_0 可检验系统(5)为GAS，即 $u_0 = 2t_0(1 + \frac{r_0^2}{(1+t_0^2)^{3/2}}) + r_0$ 为(t_0, r_0)子系统的镇定控制。事实上，计算 V_0 沿闭环(5)的解的时间微分有

$$\dot{V}_0 \leq -\frac{1}{4}(r_0^2 + t_0^2)\sqrt{1+t_0^2}.$$

Step 2 镇定(s_0, t_0, r_0)子系统。此时令

$$u_0 = u_1 + 2t_0(1 + \frac{r_0^2}{(1+t_0^2)^{3/2}}) + r_0.$$

于是(s_0, t_0, r_0)子系统描述为

$$\dot{s}_0 = u_1 + 2t_0(1 + \frac{r_0^2}{(1+t_0^2)^{3/2}}) + r_0,$$

$$\dot{t}_0 = r_0,$$

$$\dot{r}_0 = -(t_0 + r_0)\sqrt{1+t_0^2} - u_1\sqrt{1+t_0^2}.$$

为了简化系统形式，令

$$s_1 = s_0 + \frac{2r_0}{\sqrt{1+t_0^2}} + t_0, \quad t_1 = t_0, \quad r_1 = r_0,$$

则(s_0, t_0, r_0)子系统重写为

$$\begin{cases} \dot{s}_1 = -u_1, \quad \dot{t}_1 = r_1, \\ \dot{r}_1 = -(t_1 + r_1)\sqrt{1+t_1^2} - u_1\sqrt{1+t_1^2}. \end{cases} \quad (6)$$

可验证 $u_1 = \frac{1}{10}s_1$ 为系统(6)的镇定控制。事实上，

设置李雅普诺夫函数 $V_1 = 5s_1^2 + \frac{1}{6}|s_1|^3 + V_0$ ，该函

数沿式(6)的解的时间微分为

$$\begin{aligned} \dot{V}_1 &\leq -s_1^2 - \frac{1}{20}|s_1|^3 - \frac{1}{4}(r_1^2 + t_1^2)\sqrt{1+t_1^2} - \\ &\quad \frac{1}{20}(2r_1 + t_1)s_1\sqrt{1+t_1^2} \leq \\ &\quad -s_1^2 - \frac{1}{20}|s_1|^3 - \frac{1}{5}r_1^2\sqrt{1+t_1^2} - \frac{9}{40}t_1^2\sqrt{1+t_1^2} + \\ &\quad \frac{3}{40}s_1^2 + \frac{3}{40}s_1^2|t_1|. \end{aligned}$$

运用不等式(3)可得

$$\begin{aligned} \frac{3}{40}s_1^2|t_1| &\leq \frac{3}{40}(\frac{2}{3} \times \frac{1}{2} \times |s_1|^3 + \frac{1}{3} \times 4 \times |t_1|^3) = \\ &\quad \frac{1}{40}|s_1|^3 + \frac{1}{10}|t_1|^3. \end{aligned}$$

并注意到 $-\frac{1}{10}t_1^2\sqrt{1+t_1^2} \leq -\frac{1}{10}|t_1|^3$ ，因此有

$$\begin{aligned} \dot{V}_1 &\leq \\ &\quad -\frac{17}{40}s_1^2 - \frac{1}{40}|s_1|^3 - \frac{1}{5}r_1^2\sqrt{1+t_1^2} - \frac{1}{8}t_1^2\sqrt{1+t_1^2} \triangleq \\ &\quad -W(s_1, t_1, r_1). \end{aligned} \quad (7)$$

Step 3 镇定(x_0, s_0, t_0, r_0)系统。 (x_0, s_0, t_0, r_0) 系统现在描述为

$$\begin{aligned} \dot{x}_0 &= s_1 - \frac{2r_1}{\sqrt{1+t_1^2}} - t_1, \\ \dot{s}_1 &= -u_1, \quad \dot{t}_1 = r_1, \\ \dot{r}_1 &= -(t_1 + r_1)\sqrt{1+t_1^2} - u_1\sqrt{1+t_1^2}. \end{aligned}$$

为了简化系统形式，也为了使 x_0 子系统明显可控，令 $x_1 = x_0 + 2\ln(t_1 + \sqrt{1+t_1^2}) + 10s_1$ ，于是有

$$\begin{aligned} \dot{x}_1 &= s_1 - t_1 - 10u_1, \quad \dot{s}_1 = -u_1, \quad \dot{t}_1 = r_1, \\ \dot{r}_1 &= -(t_1 + r_1)\sqrt{1+t_1^2} - u_1\sqrt{1+t_1^2}. \end{aligned}$$

现在令 $u_1 = u_2 + \frac{1}{10}s_1$ ，有

$$\begin{cases} \dot{x}_1 = -10u_2 - t_1, \quad \dot{s}_1 = -u_2 - \frac{1}{10}s_1, \quad \dot{t}_1 = r_1, \\ \dot{r}_1 = -(t_1 + r_1 + \frac{1}{10}s_1)\sqrt{1+t_1^2} - u_2\sqrt{1+t_1^2}. \end{cases} \quad (8)$$

式(7)启发笔者验证(s_1, t_1, r_1)子系统关于 u_2 的输入状态稳定性，得到肯定的结果(实际上，Step 1和Step 2中的设计都使相应子系统为输入状态稳定)，这使笔者自然地想到运用引理2，但由于 x_1 子系统存在 $-t_1$ 项，不可以简单设计 $u_2 = \frac{1}{10}x_1$ 。尽管如此，笔者并未就此止步，仍然希望运用引理2得到简单控制，于是设计

$$u_2 = \frac{1}{10}x_1 - \frac{1}{10}t_1, \quad (9)$$

使 x_1 子系统全局渐近稳定，并大胆猜测下面的系统关于 v 为输入状态稳定：

$$\begin{cases} \dot{s}_1 = -\frac{1}{10}s_1 + \frac{1}{10}t_1 + v, \quad \dot{t}_1 = r_1, \\ \dot{r}_1 = -(t_1 + r_1)\sqrt{1+t_1^2} - \frac{1}{10}s_1\sqrt{1+t_1^2} + \frac{1}{10}t_1\sqrt{1+t_1^2} + v\sqrt{1+t_1^2}. \end{cases} \quad (10)$$

很显然，如果猜测成立，那么闭环

$$\begin{aligned} \dot{x}_1 &= -x_1, \quad \dot{s}_1 = -\frac{1}{10}s_1 + \frac{1}{10}t_1 - \frac{1}{10}x_1, \quad \dot{t}_1 = r_1, \\ \dot{r}_1 &= -(t_1 + r_1)\sqrt{1+t_1^2} - \frac{1}{10}s_1\sqrt{1+t_1^2} + \frac{1}{10}t_1\sqrt{1+t_1^2} - \frac{1}{10}x_1\sqrt{1+t_1^2} \end{aligned}$$

为 GAS，即 $u_2 = \frac{1}{10}x_1 - \frac{1}{10}t_1$ 为系统(8)的镇定控制。

通过细致于Step2的不等式估计，可证实系统(10)关于 v 为输入状态稳定。下面是详细的推算过程。

仍然运用李雅普诺夫函数 V_1 ，沿着系统(10)的解计算 V_1 的时间微分得到

$$\begin{aligned} \dot{V}_1 \leq & [-s_1^2 - \frac{1}{20}|s_1|^3 + s_1 t_1 + \frac{1}{20}s_1^2|t_1| - \frac{1}{2}(r_1^2 + t_1^2)\sqrt{1+t_1^2} - \frac{1}{2}t_1 r_1 \sqrt{1+t_1^2} - (\frac{1}{10}r_1 s_1 - \frac{1}{10}r_1 t_1 + \frac{1}{20}t_1 s_1 - \frac{1}{20}t_1^2)\sqrt{1+t_1^2}] + \\ & 10s_1 v + \frac{1}{2}s_1^2|v| + (r_1 + \frac{1}{2}t_1)v\sqrt{1+t_1^2} \triangleq \\ & \Pi + 10s_1 v + \frac{1}{2}s_1^2|v| + (r_1 + \frac{1}{2}t_1)v\sqrt{1+t_1^2}. \end{aligned}$$

首先简化方括号中的算式（其间需要运用不等式(3)(4)），得到

$$\begin{aligned} \Pi \leq & -s_1^2 - \frac{1}{20}|s_1|^3 + s_1 t_1 + \frac{1}{20}s_1^2|t_1| - (\frac{1}{400} + \frac{179}{400})r_1^2\sqrt{1+t_1^2} - \frac{17}{40}t_1^2\sqrt{1+t_1^2} - \frac{2}{5}t_1 r_1 \sqrt{1+t_1^2} + \frac{3}{40}s_1^2 + \frac{3}{40}s_1^2|t_1| \leq \\ & -\frac{1}{400}s_1^2 - \frac{1}{120}|s_1|^3 - \frac{1}{400}r_1^2\sqrt{1+t_1^2} - \frac{3}{7160}t_1^2\sqrt{1+t_1^2} - \frac{240}{716}t_1^2\sqrt{1+t_1^2} + \frac{100}{369}t_1^2 + \frac{1}{6}|t_1|^3 \leq \\ & -\frac{1}{400}r_1^2\sqrt{1+t_1^2} - \frac{3}{7160}t_1^2\sqrt{1+t_1^2} - \frac{1}{120}|s_1|^3 - \frac{1}{400}s_1^2. \end{aligned}$$

另外，运用不等式(4)可得

$$(r_1 + 1/2t_1)v\sqrt{1+t_1^2} \leq$$

$$\frac{1}{800}r_1^2\sqrt{1+t_1^2} + \frac{1}{7160}t_1^2\sqrt{1+t_1^2} + \frac{1295}{2}(v^2 + v^2|t_1|).$$

于是得到

$$\begin{aligned} \dot{V}_1 \leq & -\frac{1}{800}r_1^2\sqrt{1+t_1^2} - \frac{1}{3580}t_1^2\sqrt{1+t_1^2} - \frac{1}{120}|s_1|^3 - \frac{1}{400}s_1^2 + 10s_1 v + \frac{1}{2}s_1^2|v| + \\ & \frac{1295}{2}v^2 + \frac{1295}{2}v^2|t_1|. \end{aligned}$$

对 $s_1 v, s_1^2 v, v^2 |t_1|$ 运用不等式(3)(4)，使 $v^2, |v|^3$ 的系数充分大（从而使 $s_1^2, |s_1|^3, |t_1|^3$ 的系数充分小），并注意到 $-t_1^2\sqrt{1+t_1^2} \leq -|t_1|^3$ ，必然存在正常数 $n_1, n_2, n_3, n_4, n_5, n_6$ 使得

$$\begin{aligned} \dot{V}_1 \leq & -n_1 r_1^2 \sqrt{1+t_1^2} - n_2 t_1^2 \sqrt{1+t_1^2} - \\ & n_3 |s_1|^3 - n_4 s_1^2 + n_5 v^2 + n_6 |v|^3. \end{aligned}$$

由引理1知道系统(10)关于 v 为输入状态稳定。

注1 针对系统(8)中 $-t_1$ 造成的困难，文献[1]不是如本文一样确定相应的输入状态稳定性，而是继续进行坐标变换和构造相应的李雅普诺夫函数，并在李雅普诺夫函数的指导下设计 u_2 。为了比较，下面介绍文献[1]对 u_2 的设计（个别算式因为李雅普诺夫函数和估计的差异与原文稍有不同）。引入坐标变换

$$\begin{aligned} x_2 &= x_1 + s_0 + \frac{r_0}{\sqrt{1+t_0^2}}, \\ s_2 &= s_1, \quad t_2 = t_1 = t_0, \quad r_2 = r_1 = r_0. \end{aligned}$$

系统(8)重写为

$$\begin{cases} \dot{x}_2 = -10u_2 + \frac{t_2 r_2^2}{(1+t_2^2)^{3/2}}, \\ \dot{s}_2 = -u_2 - \frac{1}{10}s_2, \quad t_2 = r_2, \\ \dot{r}_2 = -(t_2 + r_2 + \frac{1}{10}s_2 + u_2)\sqrt{1+t_2^2} \end{cases} \quad (11)$$

注意到

$$\begin{aligned} |\frac{t_2 r_2^2}{(1+t_2^2)^{3/2}}| &\leq \\ \frac{5}{3}W(s_2, t_2, r_2) &= \frac{5}{3}W(s_1, t_1, r_1), \end{aligned}$$

设置李雅普诺夫函数

$$\begin{aligned} V_2 &= 2V_1 + \int_0^{|x_2|} \sigma(s) ds, \\ \sigma(0) &= 0, \quad 0 < s\sigma(s) \leq |s|, \quad \forall s \neq 0, \\ \liminf_{s \rightarrow +\infty} \sigma(s) &> 0. \end{aligned}$$

该函数沿着系统(11)的解的时间微分为

$$\begin{aligned} \dot{V}_2 \leq & -\frac{1}{3}W(s_2, t_2, r_2) - ((2r_2 + t_2)\sqrt{1+t_2^2} + \\ & 20s_2 + s_2|s_2| + 10\sigma(x_2))u_2. \end{aligned}$$

为了使闭环 GAS，一种方便的选择为

$$\begin{aligned} u_2 = & (2r_2 + t_2)\sqrt{1+t_2^2} + 20s_2 + \\ & s_2|s_2| + 10\sigma(x_2). \end{aligned} \quad (12)$$

注 2 本文前两步设计与文献 [1] 一致, 第3步因为思考角度不同而得到不同的 u_2 控制. 比较式 (9) 和 (12), 本文的设计显然简单于文献 [1].

注 3 不难看到, 如果不从输入状态稳定的角度考察系统 (8), 将很难得到简单控制 $u_2 = \frac{1}{10}x_1 - \frac{1}{10}t_1$; 同样可看到, 不等式 (3)(4) 在输入状态稳定的估计中起了重要的作用.

最后, 根据有关坐标变换计算系统 (1) 的完整的镇定控制, 得到

$$\begin{aligned} u_0 = & \frac{1}{10}(x_0 + 2\ln(t_0 + \sqrt{1+t_0^2})) + (3t_0 + r_0) + \\ & \frac{11}{10}(s_0 + \frac{2r_0}{\sqrt{1+t_0^2}}) + \frac{2t_0r_0^2}{(1+t_0^2)^{3/2}}. \end{aligned} \quad (13)$$

系统 (1)(13) 的状态变化见图 1, 此时所选初值为 $(x_0, s_0, t_0, r_0) = (19, 13, -29, 5)$.

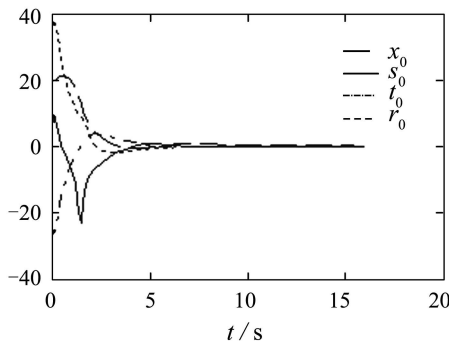


图 1 系统(1)(13)的状态变化

Fig. 1 State histories of (1)(13)

3 结论(Conclusion)

充分运用迭代设计过程中子系统的输入状态稳定性, 给出了“小车-单摆”系统的一个简单于文献[1]的镇定设计. 设计表明, 充分运用系统固有的鲁棒稳定性, 可避免费力地构造李雅普诺夫函数, 并可能简化控制.

参考文献(References):

- [1] MAZENC F, PRALY L. Adding integrators, saturated controls and stabilization for feedforward systems[J]. *IEEE Trans on Automatic Control*, 1996, 41(11) : 1559 – 1578.
- [2] SONTAG E D, WANG Y. On characterizations of the input-to-state stability property[J]. *Systems & Control Letters*, 1995, 24(5) : 351 – 359.
- [3] SONTAG E D. Further facts on input to state stabilization[J]. *IEEE Trans on Automatic Control*, 1990, 35(4) : 437 – 442.
- [4] LIU W, CHITOUR Y, SONTAG E D. On finite-gain stabilizability of linear systems subject to input saturation[J]. *SIAM J of Control and Optimization*, 1996, 34(4) : 1190 – 1219.

作者简介:

叶华文 (1968—), 男, 2004 年博士后出站, 现在中南大学信息与工程学院工作, 主要研究机电系统的稳定控制, E-mail: yehuawen2001@yahoo.com.cn;

钟守铭 (1955—), 男, 教授, 研究领域为稳定性理论及应用;

凌玉华 (1965—), 女, 教授, 研究领域为智能控制理论及应用;

戴冠中 (1937—), 男, 教授, 研究领域为大系统理论、非线性控制、智能控制和信息安全.